

蓝细菌分离 DnaE 内含肽的自我剪接研究

魏新元^a, 丑敏霞^b, 闻盼盼^a, 刘东斌^a

(西北农林科技大学 a. 食品科学与工程学院, b. 生命科学学院, 陕西 杨凌 712100)

【摘要】【目的】证实蓝细菌 *Anabaena* sp. PCC 7120 复制酶中分离的 DnaE 内含肽的自我剪接活性。【方法】分别将 *Anabaena* PCC 7120 中分离的 2 个 *dnaE* 基因的部分序列克隆到表达载体上, 获得重组表达质粒, 经超量表达和纯化后, 免疫家兔获得相应的抗体; 同时, 两段分离的 *dnaE* 序列被克隆到同一表达载体, 构建双重重组表达质粒, 两段序列具有各自的 ORF, 但由同一启动子调控。双重重组表达质粒经诱导之后, 利用以上获得的抗体对含有内含肽的 DnaE 蛋白在大肠杆菌表达体系中的自我剪接反应进行检测。【结果】在双重重组表达质粒的表达产物中, 抗体不仅可以分别与对应的蛋白质反应, 而且还可以同时识别 1 条新条带, 该条带的表观分子量与成熟 DnaE 的理论值大致相符。【结论】蓝细菌分离的 DnaE 内含肽在大肠杆菌表达体系中可以进行自我剪接; 本研究获得的抗体具有较好的特异性, 无明显背景干扰, 而且效价高, 抗体可以稀释 1 000 倍以上使用, 也可以用于相关方面的研究。

【关键词】 DnaE 内含肽; 重组表达质粒; 自我剪接; 蓝细菌

【中图分类号】 Q503

【文献标识码】 A

【文章编号】 1671-9387(2009)02-0160-05

Study on self-splicing of split intein of the DNA polymerase DnaE in cyanobacteria

WEI Xin-yuan^a, CHOU Min-xia^b, WEN Pan-pan^a, LIU Dong-bin^a

(a. College of Food Science and Engineering, b. College of Life Science, Northwest A&F University, Yangling, Shaanxi 712100, China)

Abstract:【Objective】The double recombinant expression plasmid was cloned to determine the self-splicing activity of split inteins located in split DnaE of cyanobacteria *Anabaena* sp. PCC 7120. 【Method】The corresponding antiserum against the two split DnaE precursor proteins were collected by injecting rabbits with purified proteins after over-expression from reconstructing recombinant expressing plasmid in *Escherichia coli*. In heterogeous *E. coli*, the antibodies were available to test the self-splicing of split DnaEs. 【Result】Results showed that both precursor proteins and mature proteins were detected in *E. coli* and antibodies could only react with their corresponding proteins. 【Conclusion】The results suggested that trans-splicing existed between the split DnaEs which contain the split inteins. The antibodies were specific without odvious background disturbance and had high effect with applied concentration low to 1/1 000, so it could be used in related research.

Key words: DnaE intein; recombinant expressing plasmid; self splicing; cyanobacterium

内含肽(Intein)是宿主蛋白质中的一段插入序列, 其对应的编码序列嵌合于宿主蛋白基因中, 随着宿主蛋白基因同时进行转录和翻译, 当蛋白质前体生成后, 内含肽通过蛋白质的自我剪接作用从宿主

蛋白质中被准确地去除, 而内含肽两侧被称为外显肽(Extein)的宿主蛋白通过肽键连接起来, 形成成熟的功能性蛋白质^[1-2]。

内含肽最早于 1990 被发现和报道, 在 1993 年,

* [收稿日期] 2008-03-31

[基金项目] 西北农林科技大学人才基金项目

[作者简介] 魏新元(1971—), 男, 湖北天门人, 讲师, 博士, 主要从事微生物学和分子生物学研究。E-mail: wheixinyuan@126.com

新英格兰生物学实验室的科学家们最先构建了其体外剪接体系^[3],该体系的构建极大地推动了内含肽自我剪接机制的研究和应用。

内含肽一般根据其是否含有自我剪接结构域和核酸内切酶结构域,分为大内含肽和小内含肽^[4]。根据存在形式,内含肽又可分为整体内含肽和分离内含肽,整体内含肽通过顺式剪接作用切除^[4-5];分离内含肽则通过反式剪接作用切除并形成功能蛋白质,天然的分离内含肽最早从 *Synechocystis* sp. PCC 6803 中发现^[6],并且得到广泛研究,这进一步推动了内含肽在生物技术领域的应用^[5,7-8]。

Anabaena sp. PCC 7120 是一种丝状蓝细菌,当环境中缺乏化合态氮源时,有 5%~10% 的细胞能分化形成异形胞^[9]。异形胞是一种末端分化的细胞,其主要功能是进行生物固氮,为营养细胞提供氮源;同时营养细胞也将生成的碳水化合物提供给异形胞,两者互相依存^[9-10],它是当前研究原核生物细胞分化的模式生物之一。基因组学分析发现,*Anabaena* PCC 7120 含有 4 个内含肽成分,分别位于 DnaE (All3578 和 Alr1054)、DnaB (All0578) 和 NrdJ (All4035) 中,其中 DnaE 内含肽以分离状态存在,并分别位于相对的 2 条 DNA 链上,这是首次从具有异形胞分化的原核生物中发现分离内含肽的存在(<http://www.kazusa.or.jp>)。本研究将具有异形胞分化的 *Anabaena* PCC 7120 分离的 2 个 *dnaE* 基因部分片段,分别构建了重组表达载体,诱导表达蛋白,并免疫家兔,获得了它们的抗体,进而在大肠杆菌(*Escherichia coli*)表达体系中对 DnaE 内含肽的反式剪接作用进行了检测,以期了解 *Anabaena* PCC 7120 的 DnaE 内含肽的自我剪接反应能力。

1 材料和方法

1.1 材料

1.1.1 菌株 *Anabaena* sp. PCC 7120,野生型丝状蓝细菌,可分化异形胞;*Escherichia coli* TG1,常规克隆宿主,无甲基化作用;*Escherichia coli* BL21(DE3),表达宿主,均为华中农业大学农业微生物学国家重点实验室惠赠。通常蓝细菌在 28~30 °C、120 r/min 连续光照(40 $\mu\text{E}/(\text{m}^2 \cdot \text{s})$)条件下培养^[11];大肠杆菌于 37 °C、在 LB 培养基中培养,如果使用氨苄青霉素(ampicillin, Amp),其终质量浓度为 100 $\mu\text{g}/\text{mL}$ 。

1.1.2 质粒 pBluescript SK-,常规克隆载体,含 LacZ 启动子,氨苄青霉素抗性(ampicillin resist-

ance, Amp^r); pET15b,表达载体, Amp^r,均为华中农业大学农业微生物学国家重点实验室惠赠。p15ENI'和 p15ECI',均为重组表达质粒,本试验中构建;p15ENI'-CI',双重组表达质粒,本试验中构建。

1.1.3 生化试剂 PCR 引物由上海生物工程技术服务有限公司合成;限制性核酸内切酶购自 NEB 或大连 TaKaRa 公司;高保真的 DNA 聚合酶 *Probest* 购自大连 TaKaRa 公司;T₄ DNA 连接酶购自 Promage 和 TaKaRa 公司;DNA 回收试剂盒购自 QIAGEN 及 Omega 公司;HisTrap 蛋白质亲和层析柱购自 Amersham 公司;氯化钠、氯化钙、丙烯酰胺、甲叉双丙烯酰胺和甘氨酸等化学试剂,均为进口产品或国产分析纯产品。

1.2 试验方法

1.2.1 表达质粒的构建 为了获得足量免疫家兔的蛋白质,构建了重组表达质粒 p15ENI'和 p15ECI',同时还构建了双重组表达质粒 p15ENI'-CI',用于大肠杆菌中蛋白质的剪接试验。构建过程中使用常规克隆载体 pBluescript SK-、表达载体 pET15b 和常规克隆宿主 *E. coli* TG1,具体操作参考文献[12]进行。

1.2.2 不同 DnaE 多肽的表达 用 pET15b 为载体构建的重组表达质粒 p15ENI'、p15ECI'和双重组表达质粒 p15ENI'-CI',分别转化表达宿主 *E. coli* BL21 后,在 37 °C、180 r/min 条件下,以 1 mmol/L IPTG (isopropyl β -D-thiogalactoside) 诱导 DnaENI'和 DnaECI'的超量表达。

1.2.3 蛋白质的纯化 *E. coli* 中大量表达的蛋白质 DnaENI'和 DnaECI'带有 His-Tag,可以使用 HisTrap 蛋白质亲和层析柱进行纯化。

1.2.4 抗血清的制备 用纯化的 DnaENI'和 DnaECI'蛋白背部皮下多点注射家兔,每兔每次的剂量为 300~400 μg ,进行 1 次基础免疫和 2 次或更多次加强免疫。当抗血清效价超过 1/1 000 时,对家兔采取心脏放血,获取大量的抗血清,参考文献[12]进行收集和保存。

1.2.5 免疫杂交 蛋白质提取物经过十二烷基磺酸钠-聚丙烯酰胺凝胶电泳(SDS-PAGE)分离后,转移到硝酸纤维素膜(NC 膜)上,然后依次与对应的一抗(1.2.4 试验中获得)、二抗(羊抗兔抗血清)反应,最后用 ECL (Enhanced Chemiluminescence) 试剂盒检测杂交结果,具体操作参考文献[12]进行。

2 结果与分析

2.1 DnaE 的生物信息学分析

通过对 *Anabaena* PCC 7120 基因组进行分析发现,DnaE 由 2 个 ORF 所编码,并且分别位于其染色体 2 条相对的核苷酸链上,被约 3.1 Mbp(整个基因组全长约 6.4 Mbp)的序列隔开,序列比对显示,

每个 ORF 对应的多肽分别与 *E. coli* 的 DnaE 蛋白两端序列高度同源。这 2 个分离多肽中含有分离的蛋白内含肽,分别位于各多肽的两端,*Anabaena* PCC 7120 的 DnaE 蛋白的两部分 DnaEN 和 DnaEC 被翻译之后,经过内含肽的剪接作用,形成成熟的 DnaE,如图 1 所示。

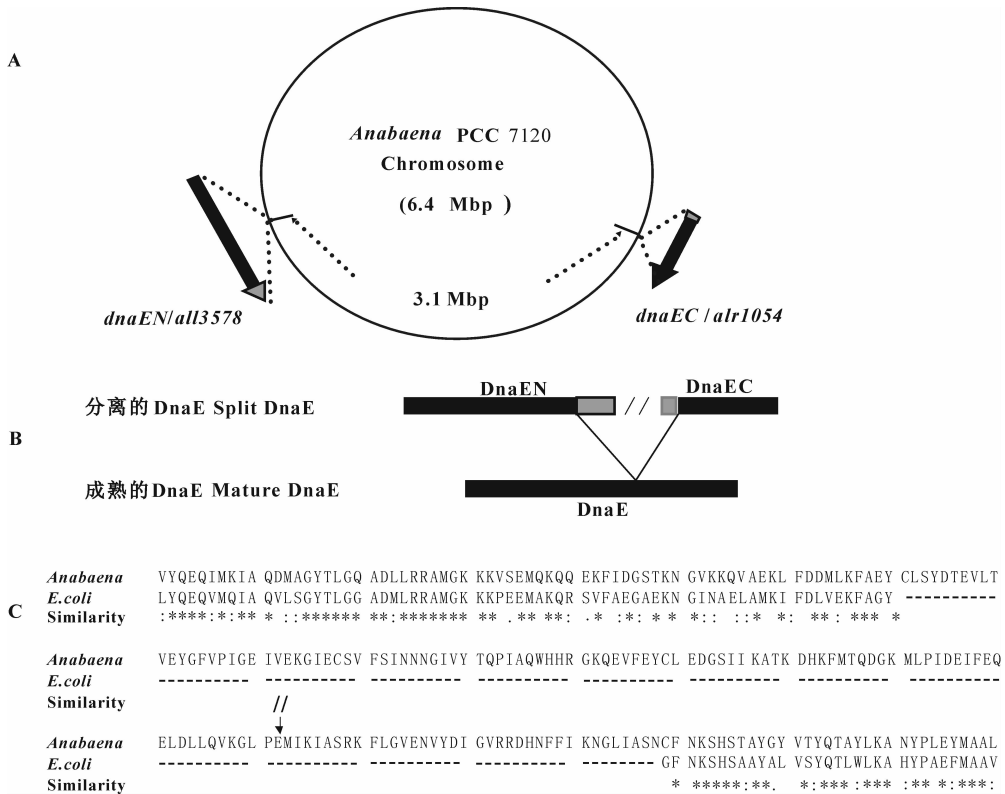


图 1 *Anabaena* PCC 7120 中 *dnaE*/DnaE 的结构

A. 分离的 *dnaE* 在 *Anabaena* PCC 7120 基因组上的位置;B. *Anabaena* PCC 7120 的 DnaE 形成;C. *Anabaena* PCC 7120 和大肠杆菌的 DnaE 部分序列的比对;A 和 B 部分中,灰色表示内含肽,黑色表示外显肽;B 和 C 部分中,“//”表示蛋白质分离点;C 部分中的“*”表示氨基酸完全一样,“.”表示氨基酸性质相似,“:”表示氨基酸性质非常相似

Fig. 1 Structure of *dnaE* or DnaE in *Anabaena* PCC 7120

A. Distribution of split *dnaE* of *Anabaena* PCC 7120;B. The formation of DnaE of *Anabaena* PCC 7120;C. The sequence alignment of partial DnaE of *Anabaena* PCC 7120 and *E. coli*. ;In panel A and B, grey bar and black bar indicate intein and extein respectively;“//” represent split spot of DnaEN and DnaEC in panel B and C;For panel C, the “*”,“.” and “:”, respectively, indicate amino acids identity, similarity, and high similarity between the sequences of *Anabaena* PCC 7120 and *E. coli*.

2.2 表达质粒的构建

重组表达质粒 p15ENI' 与 p15ECI' 及双重组表达质粒 p15ENI'-CI' 的构建如图 2 所示。

2.2.1 重组表达质粒 p15ENI' 和 p15ECI' 的构建

将 *Anabaena* PCC 7120 中含有内含肽的 DnaE 氨基端多肽 All3578 的末尾部分编码序列(命名为 *dnaENI'*,长 1 110 bp,引物中引入限制性内切酶位点,其中上游引物及酶切位点为 5'-CTT CTG CAG CAT ATG GCG ATG CGA ATC GAA 和 *Pst* I、

Nde I;下游引物及其酶切位点为 5'-CTT GGA TCC GAG CTC TTA CTC TGG TAA ACC CTTC 和 *Bam*H I、*Sac* I),与含有内含肽的 DnaE 羧基端 Alr1054 的整个编码序列(命名为 *dnaECI'*,长 1 353 bp,引物中引入限制性内切酶位点,其中上游引物与酶切位点为 5'-CTT CTG CAG CAT ATG ATT AAA ATA GCA AGC 和 *Pst* I、*Nde* I;下游则为 5'-CTT GGA TCC TCA CGA ACC ACC AAT CAG 和 *Bam*H I),以其总 DNA 为模板,使

用高保真的 DNA 聚合酶 *Probest*, 通过 PCR 获得扩增产物。PCR 产物经过限制性内切酶 *Nde* I 和 *Bam*H I 进行双酶切后, 连接到经相同内切酶处理的表达载体 pET15b 中 (Invitrogen), 获得重组表达

质粒, 分别命名为 p15ENI' 和 p15ECI' (图 2)。插入序列被测序证实, 在插入序列之前都分别含有 HisTag、核糖体结合位点和 T7 启动子序列, 插入序列还含有自己的终止子。

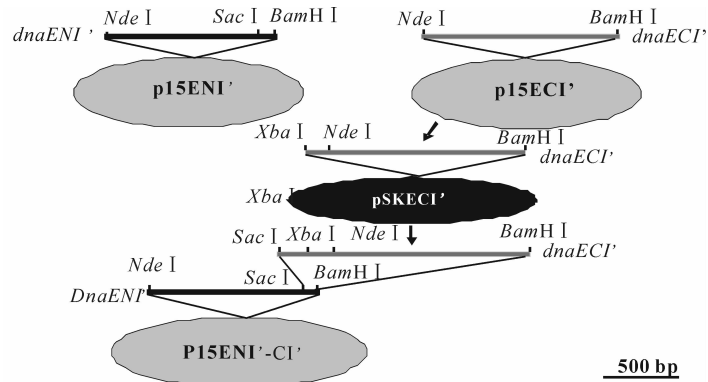


图 2 表达质粒 p15ENI'、p15ECI' 和 p15ENI'-CI' 的分子构建

Fig. 2 Molecular construction of expression plasmids: p15ENI', p15ECI' and p15ENI'-CI'

2.2.2 双重表达质粒 p15ENI'-CI' 的构建 为了将 *dnaENI'* 和 *dnaECI'* 人为地构建在同一个操纵子内, 先用 *Xba* I 和 *Bam*H I 将含有 *dnaECI'* 的片段从 p15ECI' 上剪切下来, 插入到以相同内切酶处理的 pBluescript SK-中, 获得重组质粒, 命名为 pSKECI', 然后将重组质粒用 pSKECI' 以 *Sac* I 和 *Bam*H I 进行酶切, 将含有 *dnaECI'* 的核苷酸序列连接到 p15ENI' 中的 *Sac* I 和 *Bam*H I 位点之间, 得到含有 2 个基因片段的双重表达质粒, 命名为 p15ENI'-CI' (图 2)。在该表达质粒中, *dnaENI'* 和 *dnaECI'* 含有各自的终止子、HisTag 和核糖体结合位点, 但是 2 个基因由同一个 T7 启动子调控。

2.3 重组表达质粒的诱导表达

为了获得高水平表达的 DnaENI' 和 DnaECI', 重组表达质粒 p15ENI' 和 p15ECI' 被分别转化到 *E. coli* BL21 中 (在该菌株中, IPTG 可以诱导 T7 RNA 聚合酶的表达), 以终浓度为 1 mmol/L IPTG 进行诱导^[13], 以含有空载体 pET15b 质粒的诱导产物为对照。细胞裂解物经过 SDS-PAGE, 然后进行考马斯亮蓝染色分析, 结果见图 3。由图 3 可见, 2 个融合蛋白被诱导后可以在 *E. coli* 中超量表达, DnaENI' 和 DnaECI' 的表观分子量分别对应于它们的期望值 42 000 和 50 000 u。使用 HisTrap 蛋白质亲和层析柱对其进行纯化, 然后免疫家兔以获取抗体。

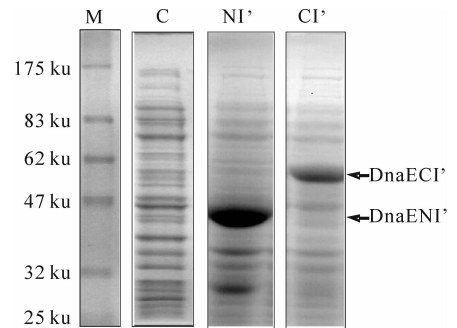


图 3 重组表达质粒诱导表达后的 SDS-PAGE 分析 C、NI' 和 CI'。pET15b、p15ENI' 和 p15ECI' 转化 *E. coli* BL21, IPTG 诱导的细胞裂解物; M: 蛋白质标记

Fig. 3 SDS-PAGE of lysate of over-expressed recombinant plasmids in *E. coli*

SDS-PAGE followed by Coomassie brilliant blue staining. The three plasmids, pET15b (C, for control without insert), p15ENI' (NI') and p15ECI' (CI'), were transformed into *E. coli* BL21 and induced by adding IPTG; M: Protein molecular weight Marker

2.4 DnaE 内含肽在大肠杆菌中的反式剪接

双重表达质粒 p15ENI'-CI' 被用来检测分离的 DnaE 内含肽在 *E. coli* 中的反式剪接作用。以 IPTG 对 p15ENI'-CI' 和 pET15b 的 *E. coli* BL21 转化子进行诱导, 细胞裂解液经过 SDS-PAGE 分离, 考马斯亮蓝染色显示, 双重表达质粒转化子生成超量表达产物 (图 4-A)。然后将表达产物裂解液和纯化的 DnaENI'、DnaECI' 多肽电泳分离后转移到 NC 膜上, 分别以 DnaENI' 和 DnaECI' 抗体进行检测, 结果显示, 抽提物中存在有共同的条带 N'-

C', 表观分子量与期望值相当, 为 76 000 u; 同时, 也检测到了与对照分子大小一致的条带 NI' 和 CI', 如图 4-B 和 4-C; 但未检测到去掉内含肽部分的外显肽 DnaEN' 和 DnaEC'。

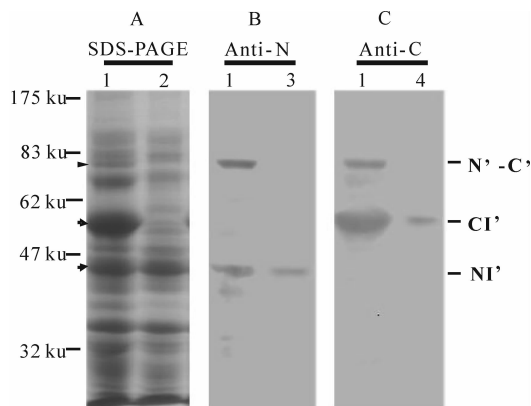


图 4 DnaE 在大肠杆菌中的反式剪接

A. p15ENI'-CI' (泳道 1) 和 pET15b (泳道 2) 的 *E. coli* BL21 转化子经 IPTG 诱导, 蛋白质抽提物在 SDS-PAGE 后, 用考马斯亮蓝染色;

B 和 C. p15ENI'-CI' 的 *E. coli* BL21 转化子细胞抽提物、纯化的 DnaENI' (泳道 3) 和 DnaECI' (泳道 4) 转移到硝酸纤维素滤膜上, 然后与 DnaENI' (B 部分) 和 DnaECI' (C 部分)

抗体进行反应; M. 蛋白质标记

Fig. 4 Trans-splicing of DnaE in *E. coli*

A. Protein expression, transformed with plasmid p15ENI'-CI' (lane 1) and pET15b (lane 2) into *E. coli* BL21, was incubated by IPTG, after separation by SDS-PAGE, proteins were revealed by Coomassie brilliant blue staining; B, C. Cell extracts of *E. coli* BL21 transformed with plasmid p15ENI'-CI' and purified DnaENI' (lane 3) and DnaECI' (lane 4) were transferred onto NC membrane and incubated with antibodies against either DnaENI' (anti-N, panel B) or DnaECI' (anti-C, panel C); M. Protein Marker

3 结论与讨论

蓝细菌 *Anabaena* PCC 7120 的 2 段 *dnaE* 构建的双重重组表达质粒, 在 *E. coli* 体系的试验中能形成成熟的蛋白质 N'-C', 说明内含肽在细胞中能进行自我剪接。在大肠杆菌表达体系中, 还能检测到 DnaENI' 和 DnaECI', 说明剪接反应不完全, 这可能是因为表达体系的生理条件不同于其宿主蓝细菌造成的。由于双重重组表达质粒 p15ENI'-CI' 中的插入片段 *dnaENI'* 和 *dnaECI'* 各自拥有自己的终止子, 所以它们的表达产物最初以分离状态存在, 所带内含肽也同样以分离状态存在, 因此, 其在大肠杆菌体系中的自我剪接反应属于反式剪接。

Anabaena PCC 7120 的异形胞是一种末端分化的细胞, 其细胞周期, 包括细胞分裂周期和 DNA 复制周期, 一直被认为也是停止的^[10,14]。DnaE 对于

细胞进行正常的生长繁殖是至关重要的^[15]。本研究中 DnaENI' 和 DnaECI' 抗体的免疫杂交结果显示, 2 种抗体均具有很好的特异性, 可以稀释 1 000 倍使用, 而且背景少, 可以利用它们来研究 *Anabaena* PCC 7120 异形胞发育和 DNA 复制之间的关系, 也可以用于该内含肽其他方面的研究。

[参考文献]

- [1] Cooper A A, Stevens T H. Protein splicing; self-splicing of genetically mobile elements at the protein level [J]. Trends Biochem Sci, 1995, 20: 351-356.
- [2] Perler F B, Davis E O, Dean G E, et al. Protein splicing elements: inteins and exteins—a definition of terms and recommended nomenclature [J]. Nucleic Acids Res, 1994, 22: 1125-1127.
- [3] Xu M, Southworth M W, Mersha F B, et al. *In vitro* protein splicing of purified precursor and the identification of a branched intermediate [J]. Cell, 1993, 75: 1371-1377.
- [4] Liu X Q. Protein splicing inteins: Genetic mobility, origin and evolution [J]. Ann Rev Genet, 2000, 34: 61-76.
- [5] Paulus H. Protein splicing and related forms of protein auto-processing [J]. Ann Rev Biochem, 2000, 69: 447-496.
- [6] Wu H, Hu Z, Liu X Q. Protein trans-splicing by a split intein encoded in a split DnaE gene of *Synechocystis* sp. PCC 6803 [J]. Proc Natl Acad Sci, USA, 1998, 95: 9226-9231.
- [7] Gogarten J P, Senejani A G, Zhaxybayeva O, et al. Inteins: Structure, function, and evolution [J]. Annu Rev Microbiol, 2002, 56: 263-287.
- [8] Noren C J, Wang J, Perler F B. Dissecting the chemistry of protein splicing and its applications [J]. Angew Chem Int Ed, 2000, 39: 450-466.
- [9] Wolk C P, Ernst A, Elhai J. Heterocyst metabolism and development [M]// Bryant. Mol Biol Cyanobacteria. Dordrecht, Nether Lands: Kluwer Academic Publishers, 1994: 769-823.
- [10] Golden J W, Yoon H S. Heterocyst development in *Anabaena* [J]. Curr Opin Microbiol, 2003, 6: 557-563.
- [11] Zhang C C. A gene encoding a protein related to eukaryotic-type protein kinases from the filamentous heterocystous cyanobacterium *Anabaena* PCC 7120 [J]. Proc Natl Acad Sci, USA, 1993, 90: 11840-11844.
- [12] Sambrook J, Fritsch E F, Maniatis T. Molecular clone: A laboratory manual [M]. 2nd ed. Cold Spring Harbor, New York: Cold Spring Harbor Laboratory Press, 1992.
- [13] Studier F W, Rosenberg A H, Dunn J J, et al. Use of T7 RNA polymerase to direct expression of cloned genes [J]. Meth Enzymol, 1990, 185: 60-89.
- [14] Adams D G. Heterocyst formation in cyanobacteria [J]. Curr Opin Microbiol, 2000, 3: 618-624.
- [15] Messer W, Weigel C. Initiation of chromosome replication [C]// Neidhardt F C, Ingraham J L, Low K B, et al. *Escherichia coli* and *Salmonella*: cellular and molecular biology. 2nd ed. Washington D C: American Society for Microbiology, 1996: 1579-1601.